



استفاده از گلوتامیک اسید، تریپتوфан و فنیل آلانین به منظور تولید نانوذرهای کلاهکدار طلا

داؤ زارع^{۱*} (M.Sc.), عظیم اکبرزاده^۲ (M.Sc.), شهرام تنگستانی نژاد^۱ (M.Sc.), محمد برخی^۳ (M.Sc.), کامیار خوشنویسان^۴ (M.Sc.)
۱- دانشگاه اصفهان- دانشکده علوم- گروه شیمی. ۲- انسیتو پاستو ایران- بخش پایلوت بیوتکنولوژی. ۳- پژوهشکده بیوتکنولوژی کشاورزی کرج- گروه تحقیقات نانو. ۴- دانشگاه اصفهان- دانشکده مهندسی- گروه بیوتکنولوژی.

تاریخ دریافت: ۱۳۸۹/۶/۶، تاریخ پذیرش: ۱۳۸۹/۳/۲

چکیده

مقدمه: مطالعه و بررسی نانوذرهای طلایی که با استفاده از آمینواسیدها تولید می‌شوند از زمینه‌های بسیار جالب و کاربردی محسوب می‌شوند. آمینواسیدها در این پژوهش هم نقش کاوهنده‌ی کاتیون‌های طلا را دارند و هم عاملی برای کلاهکدار کردن نانوذرهای طلا می‌باشند. در واقع اتصال محکم گروه‌های آمینی در آمینواسیدها و پروتئین‌ها به سطوح نانوذرهای طلا به کاربردهای پژوهشکی این مواد همیزبیدی دلالت دارد.

مواد و روش‌ها: در این پژوهش نانوذرهای طلا با استفاده از کاهش محلول حاوی کاتیون‌های طلا با غلظت بهینه ۰.۰۰۵٪ مولار توسط آمینواسیدهای گلوتامیک اسید، فنیل آلانین و تریپتوфан با غلظت بهینه ۰.۰۲۵٪ مولار تهیه و عامل دار شدند.

نتایج: پس از شناسایی این ذره‌ها توسط طیف سنج UV-Vis. غلظت محلول کاتیون‌های طلا و آمینواسیدها بهینه شده و اندازه‌ی ذره‌ها با استفاده از میکروسکوپ الکترونی عبوری و تفرق دینامیکی نور به ترتیب ۵-۲۰، ۱۰-۲۰ و ۲۰-۳۰ نانومتر تعیین شدند که مناسب برای فعالیت‌های بیولوژیکی می‌باشند.

نتیجه‌گیری: با مقایسه داده‌های حاصل از محاسبات کوانتیمی و تجربی مشخص شد آمینواسیدهایی که به صورت آبیون به نانوذرهای طلا متصل می‌شوند از استحکام بیشتری برخوردارند. نانوذرهای طلایی کلاهکدار شده توسط گلوتامیک اسید از آنجایی که دارای گروه‌های کربوکسیلی آزاد هستند، بستر مستعد و مناسبی برای اتصال عوامل زیستی مختلف به این ذره‌ها را فراهم می‌کنند.

واژه‌های کلیدی: نانوذرهای طلا کلاهکدار شده، گلوتامیک اسید، فنیل آلانین، تریپتوфан.

Original Article

Knowledge & Health 2011;5(4):20-26

Using Glutamic Acid, Phenylalanine and Tryptophan to Synthesize Capped Gold Nanoparticles

Davood Zare^{1*}, Azim Akbarzadeh², Shahram Tangestaninejad¹, Mohammad Barkhi³, Nasim Bararpour², Kamyar Khoshnevisan⁴

1- Dept. of Chemistry, Faculty of Science, Isfahan University, Isfahan, Iran. 2- Pilot of Biotechnology Dept. Pasteur Institute of Iran, Tehran, Iran. 3- Nano Research Group, Agricultural Biotechnology Research Institute, Karaj, Iran. 4- Dept. of Biotechnology Engineering, Faculty of Engineering, Isfahan University, Isfahan, Iran.

Abstract:

Introduction: The study and investigation of gold nanoparticles produced by amino acid is one of the interesting and applied issues in nanotechnology. In this study, amino acids were used to reduce gold cations as well as an agent to cap gold nanoparticles. In fact, strong bound of amino groups to amino acid and protein on the gold nanoparticles surface indicate the medical applications of these materials.

Methods: In this study, gold nanoparticles were prepared and functionalized by using solution reduction containing gold cations with optimum concentration (0.005 M), and also prepared by using glutamic acid, phenylalanine and tryptophan with optimum concentration (0.025 M).

Results: The investigation of optimum condition for gold solution and amino acids and also determination of gold nanoparticles were done by UV-Vis. The nanoparticles size were reported 5-20, 10-20 and 20-30 nm respectively by transmission electron microscopy and dynamic light scattering techniques, which is appropriate for biological activities.

Conclusion: The comparison of the data from experimental and quantum calculations demonstrated that amino acids have strong band when they are conjugated by anion state. Free carboxylic groups of capped gold nanoparticles with glutamic acid are one of the suitable and capable beads for binding to biological agents.

Keywords: Capped gold nanoparticles, Glutamic acid, Phenylalanine, Tryptophan.

Conflict of Interest: No

Received: 23 May 2010

Accepted: 28 August 2010

*Corresponding author: D. Zare, Email: Zare_davood@yahoo.com

مقدمه

پیتیدهای حاوی تیروزین در کاهش کاتیون‌های طلا و تولید نانوذره‌های طلا می‌توانند نقش کلیدی داشته باشند.

در این پژوهش نانوذره‌های طلا نه تنها با آمینواسیدهای مختلف کلاهکدار می‌شوند بلکه عامل کاهنده در تولید نانوذره‌های طلا نیز همین آمینواسیدهای (این آمینواسیدها گلوتامیک اسید، فنیل آلانین و تریپتوفان می‌باشند). همچنین به منظور شناسایی و بررسی اندازه و شکل نانوذره‌های تولید شده از تکنیک‌های مختلفی از جمله طیف‌سنجی ماوراء بنفش-مریبی (Ultra violet spectroscopy = UV-Vis)، تفرق دینامیکی نور (Dynamic light scattering = DLS)، میکروسکوپ (Transmission electron microscopy = TEM) و الکتروفورز ژلی و برای بررسی نتایج آزمایش‌ها نیز از داده‌ها و نتایج بررسی‌های نظری به دست آمده از مطالعات کوانتی و محاسباتی، که با نرم‌افزارهای مختلف صورت گرفته، استفاده شده است.

در مقیاس نانو، ذرات دارای فعالیت‌ها و برهمنکش‌های خاص و ویژه‌ای هستند. این ذرات معدنی در صورت برهمنکش با برخی مواد خاص (مولکول‌هایی که از یک سر به نانوذره متصل باشند و یک سر با گروه عاملی آزاد داشته باشند) می‌توانند به بسیاری از زیست مولکول (مانند آمینواسیدها، پروتئین‌ها و آنتی‌بادی‌ها) متصل شوند و ایجاد کاربردهای تشخیصی و درمانی جالبی نمایند. از این رو برهمنکش‌های میان نانوذره‌های طلا و آمینواسیدها به عنوان نخستین کام، از اهمیت به سزاپی برخوردار است.

مواد و روش‌ها

مواد شیمیایی:

تریاکلروآتوریک اسید سه آبه، گلوتامیک اسید، سدیم گلوتامات، فنیل آلانین، تریپتوفان، مواد الکتروفورز ژلی سدیم دودسیل سولفات سدیم (شامل متابولیک اسید گلاسیال، تریس‌هیدروکسی آمینوتان هیدروکلراید، کماسی بلو G)، اکریل آمید، پیس اکریل آمید، سدیم دودسیل سولفات، آمونیوم پرسولفات، گلیسرول و مرکاپتوتانول) که همگی از شرکت مرک آلمان تهیه شده‌اند. در ضمن آب مقتطر یون‌زدایی شده مصرف از واحد آب مقتدر انسیتیو پاستور ایران تأمین شده است.

تهیه محلول نانوذره‌های طلا کلاهکدار شده‌ی آمینی:

نانوذره‌های طلا به روش کاهش نمک طلا (III) در حضور آمینو اسید (فنیل آلانین، تریپتوفان و گلوتامیک اسید) تهیه می‌شوند. برای این منظور محلول ۵mM تراکلروآتوریک اسید در آب مقتدر یون‌زدایی شده، حرارت داده شد؛ پس از رسیدن محلول به نقطه‌ی جوش خود، محلول آمینواسید (که قبلاً در آب مقتدر یون‌زدایی شده حل شده و غلظت آن ۲۵mM است) روی آن افزوده و گرم کردن آن قدر ادامه می‌یابد تا رنگ محلول از بی‌رنگ به صورتی مایل به سرخ تغییر کند (این تغییر رنگ نشانه تولید نانوذره‌های طلا و انجام واکنش است؛ سپس محلول به

نانوذره‌های فلزی امروزه مورد توجه و علاقه خاصی قرار گرفته‌اند و این توجه روز به روز بیشتر شده است. علت این موضوع را می‌توان ویژگی‌های منحصر به‌فرد اندازه این ذرات یعنی اندازه‌ی نانو (10^{-9} m) دانست. خصوصیت‌های فیزیکی- شیمیایی و الکتروپاتیکی (Optoelectronic) از این ویژگی‌ها به‌شمار می‌آیند (۱ و ۲). کارایی و پتانسیل کاربردی این ذره‌ها در کاتالیست‌ها و استفاده از آن‌ها به عنوان نشان‌گرهای (Marker) میکروسکوپ الکترونی بسیار مورد توجه است (۳، ۴ و ۵). نانوذره‌های طلا از دسته نانوذره‌هایی هستند که پیشینه‌ای طولانی در استفاده از آن‌ها وجود دارد. از شیشه‌گران قرون وسطی گرفته تا پژوهشگران پیشرفت‌هایی مراکز علمی امروز دنیا، همگی به ویژگی‌های این ذره علاقه‌ی ویژه‌ای داشته و دارند. «فارادی» را اولین فردی می‌توان دانست که نانوذره‌های طلا (که به شکل امروزی مورد استفاده است) را در حالت محلول تهیه کرده است. اما امروزه نانوذره‌های طلا با روش‌های مختلف در هر دو حالت محلول‌های آبی و محلول‌های غیر قطبی آبی تهیه می‌شوند (۶، ۷، ۸ و ۹).

با گسترش فرآیندهای نوین تولید نانوذره‌های طلا، بررسی اندازه، تک ذره‌ای بودن (Monodispersity) شکل و خصوصیت‌های شیمی سطح (Surface Chemistry) این ذره‌ها به طور همزمان در حال انجام می‌باشد (۱۱). توانایی سوار کردن (Modulate) و اتصال دادن لیگاندهای مختلف روی سطح نانوذره‌های طلا سبب شده است که کاربردهای بسیار گسترده‌ای از نانوذره‌های طلا در زمینه‌ی انواع واکنش‌های آبی، سنسورها (معدنی و بیولوژیکی)، تشخیص‌های زیستی، دارو و DNA رسانی و تصویربرداری ایجاد شود (۱۱، ۱۲، ۱۳ و ۱۴). با این که اتصال گروه‌های گوگردار به نانوذره‌های طلا و در ادامه وصل کردن لیگاندهای مختلف به آن (نانوذره‌های طلا) بسیار جالب، کاربردی و مورد استفاده است (۱۱، ۱۲ و ۱۵)، اما اتصال گروه‌های آمینی به طلا نیز به همین قوت می‌تواند مورد توجه باشد. در واقع اتصال کلیل آمین‌ها به نانوذره‌های طلا، می‌تواند انتقال نانوذره‌های طلا را به حلال‌های آبی آسان کند (۱۶). همچنین اتصال محکم گروه‌های آمینی در آمینواسیدها و پروتئین‌ها به سطوح نانوذره‌های طلا، به کاربردهای پژوهشی این مواد هیبریدی (Hybrid materials) دلالت دارد (۱۷ و ۱۸). در راستای کلاهکدار کردن نانوذره‌های طلا، جوشی و همکارانش در پژوهش‌های خود موفق شدند نانوذره‌های تولید شده با سدیم بور هیدرات را توسط آمینواسید لیزین کلاهکدار نمایند (۱۹). همچنین بارگاوا و همکارانش توانستند نانوذره‌های طلازی را که با سدیم سیترات تهیه کرده بودند به تیروزین و تریپتوفان متصل کنند (۲۰). از سوی دیگر، سی و همکاران (۲۱) در پژوهش‌های خود نشان دادند که

پس از شناسایی نانوذره‌های تولید شده توسط آمینواسیدها و تعیین اندازه‌ی آن‌ها، مرحله بعد انجام آزمون SDS-PAGE برای نانوذره‌های تولید شده توسط گلوتامیک اسید و سدیم گلوتامات بود. همان‌گونه که در شکل ۴ نشان داده شده است، نانوذره‌هایی که توسط سدیم گلوتامات تهیه و عامل‌دار شده‌اند به سمت قطب مثبت جابجایی داشته‌اند که نشان می‌دهد این ذرات دارای بار سطحی منفی هستند.

جدول ۱- اندازه‌ی نانوذره‌های طلای حاصل شده با غلظت‌های مختلف محلول طلا و آمینواسید توسط آنالیز DLS

محلول طلا				
۹mM	۷mM	۵mM	۳mM	گلوتامیک اسید (mm)
۵۵	۴۰	۲۶	۳۴	فیلی آلانین
۶۰	۳۹	۲۹	۳۶	تریپتوфан
۷۲	۵۸	۴۱	۵۵	تریپتوفان

غلظت آمینواسیدها				
۳۵mM	۳۰mM	۲۵mM	۱۵mM	گلوتامیک اسید (mm)
۳۳	۳۰	۲۶	۱۵	فیلی آلانین
۳۵	۲۸	۲۹	۳۵	تریپتوفان
۴۷	۴۴	۴۱	۵۰	تریپتوفان

بحث

نتایج UV-Vis حاصل از محلول کلریدی نانوذره‌های طلای تولید شده توسط آمینواسیدهای مختلف، بیان‌گر تولید نانوذره‌های طلاست (۲۲ و ۲۴). بیشینه جذب هر یک از این ذره‌ها همان‌طور که در شکل ۱ مشخص است ۵۳۳ و ۵۲۵ نانومتر به ترتیب مربوط به نانوذره‌های تولید شده با گلوتامیک اسید، فیلی آلانین و تریپتوفان می‌باشد. از آنجایی که نانوذراتات طلا را می‌توان نوعی کلاستر بی‌شک طلا در نظر گرفت پس با توجه به تئوری پیوند و اوربیتال مولکولی و همچنین آرایش الکترونی طلا می‌توان گفت که هر چه تعداد اتم‌های طلای متصل شده به یکدیگر بیشتر باشد، فاصله بین بالاترین تراز الکترونی پر از الکترون (HOMO) و پایین‌ترین تراز الکترونی خالی از الکترون (LUMO) در ترازهای الکترونی کاهش یافته و انتقالات الکترونی راحت‌تر صورت می‌پذیرند. در نتیجه با مقدار کمتری انرژی می‌توان الکترون را از HOMO به LUMO انتقال داد (شکل ۲). با این توضیح و اینکه می‌دانیم هرچه انتقالات الکترونی با مقدار انرژی کمتر صورت

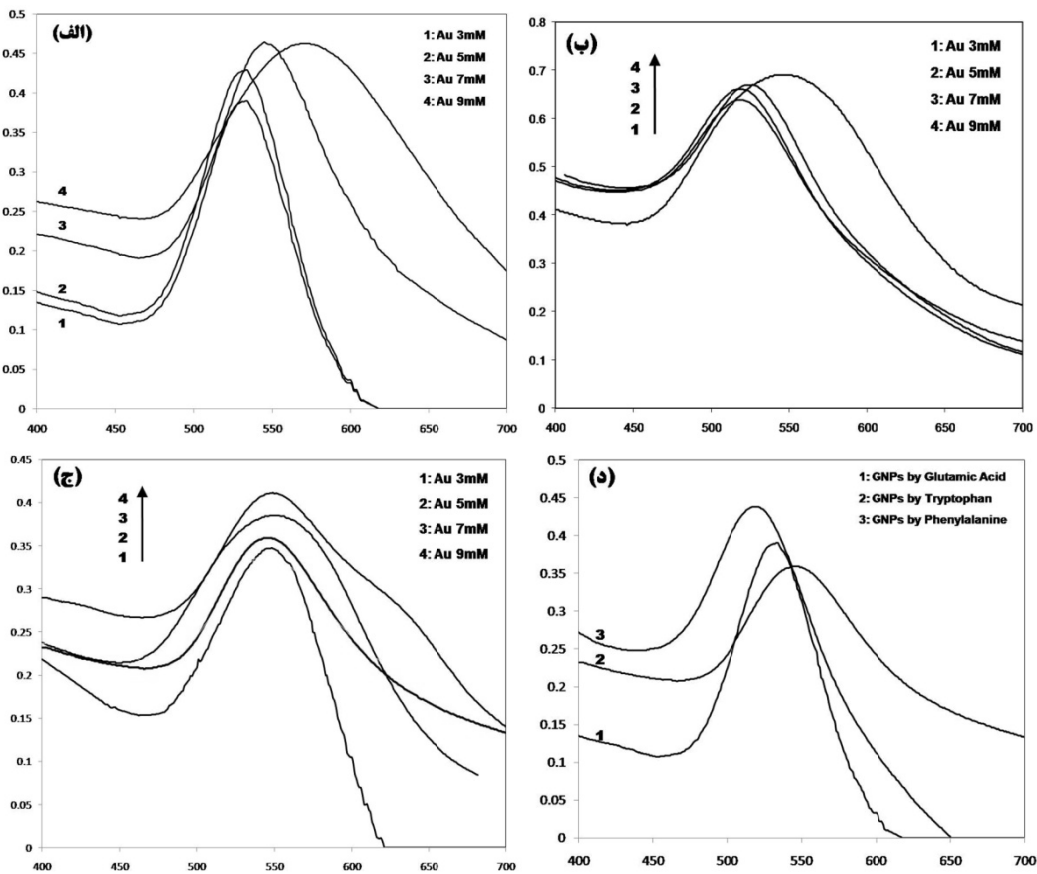
سرعت در حمام آب / یخ قرار داده می‌شود. در این پژوهش به‌منظور بهینه کردن غلظت محلول طلا، نانوذره‌های طلا در شرایط غلظتی مختلف توسط هر یک از آمینواسیدهای ذکر شده تولید شدند. غلظت محلول طلا در این شرایط ۹mM، ۷mM، ۵mM، ۳mM و ۱۵mM بوده و غلظت هر آمینواسید ۲۵mM می‌باشد. در گام بعدی این ذرات با غلظت بهینه شده‌ی محلول طلا و غلظت‌های مختلف آمینواسید تهیه شدند (این غلظت‌ها عبارتند از ۱۵mM، ۲۵mM، ۳۰mM و ۳۵mM).

روش‌های شناسایی نانوذره‌های طلا:

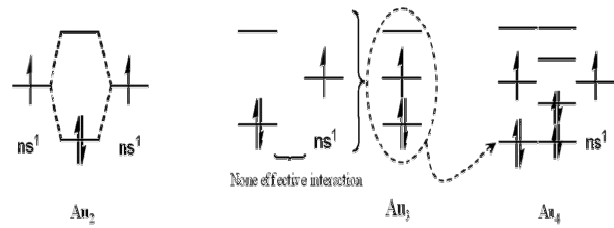
شناسایی و تعیین اندازه نانوذره‌های طلا و تعیین اندازه ذره‌ها با استفاده از روش‌های طیف سنجی فرا بنشن - مری (UV-Vis) [طیف سنج شیمادزو (Shimadzu) ژاپن مدل ۱۶۰۱]، تفرق دینامیکی نور (DLS) [زتا-سایزر (Zeta-sizer) مدل ۳۰۰۰ ساخت شرکت مالورن (Malvern) انگلستان] و میکروسکوپ الکترونی عبوری (مدل JEOL-JEN 2010) ساخت شرکت فیلیپس هلند) صورت گرفته است. از تکنیک الکتروفوروز ژلی دودسیل‌سولفونات (SDS-PAGE) نیز برای بررسی بار نانوذره‌های عامل‌دار شده توسط آمینو اسیدها، استفاده شده است.

نتایج

در این پژوهش نانوذره‌های طلا در شرایط غلظتی مختلف توسط هر یک از آمینواسیدهای ذکر شده، تولید شدند. از جمله بهترین روش‌های شناسایی و تعیین اندازه‌ی اولیه‌ی نانوذره‌های طلا روش طیف سنجی UV-Vis و DLS می‌باشد که نتایج این آزمایشات در شکل ۱ و جدول ۱ نشان داده شده است. با بررسی این نتایج و نمودارها، مشخص است که غلظت ۵mM، به‌دلیل کمترین اندازه‌ی ذره و کوچک‌ترین طول موج، بهینه‌ترین غلظت برای محلول طلا در شرایط آزمایش می‌باشد. با بهینه کردن غلظت محلول طلا، گام بعدی بهینه نمودن شرایط غلظتی برای آمینواسیدها بود. با بررسی نتایج حاصل شده از این آزمایشات مشخص شد که غلظت ۲۵mM برای آمینواسیدها تولید کوچک‌ترین ذره‌ها را می‌کند. از این رو این دو غلظت (۵mM برای محلول طلا و ۲۵mM برای محلول آمینواسید) غلظت‌های بهینه در شرایط آزمایش بودند. جدول ۲ مقادیر DLS مربوط به نانوذره‌های طلای تهیه شده در شرایط بهینه و با استفاده از گلوتامیک اسید، سدیم گلوتامات، فیلی آلانین و تریپتوفان می‌باشد. پس از شناسایی و اندازه‌گیری اولیه نانوذره‌های تولید شده و بهینه کردن شرایط غلظتی، گام بعدی اندازه‌گیری دقیق ذره‌ها بوده است که این کار توسط آزمون TEM انجام گرفته است. نتایج حاصل از این آزمون همان‌گونه که در شکل ۳ نشان داده شده است، اندازه ذرات ۵-۲۰ و ۲۰-۳۰ نانومتر (به ترتیب مربوط به نانوذره‌های تولید شده با گلوتامیک اسید، فیلی آلانین و تریپتوفان) را نشان داد.



آمده از آزمایش‌های DLS و TEM این ذره‌ها تأیید شد (شکل ۳ و جدول ۲). از سوی دیگر همین توضیحات و دلایل برای یافتن بهترین غلظت و شرایط بهینه برای محلول‌های طلا و آمینو اسیدها منطقی و قابل استناد می‌باشد. بررسی پژوهشگران شیمی نظری و محاسباتی نشان می‌دهد که برهمنکش بین نانوذره‌های طلا با آمینواسیدها در حالت آبیونی قوی‌تر از حالت خنثی و کاتیونی آن‌هاست. جدول ۳ که محاسبه‌های آن با استفاده از DFT (Density functional theory) بدست آمده است، نشان می‌دهد که برهمنکش آمینواسیدهای گلایسین و سیستئین در حالت آبیونی با کلاسترهاي طلا بیش از حالت‌های خنثی و کاتیونی است. با توجه به این پیش‌بینی، از گلوتامیک اسید، به عنوان آمینواسیدی که کوچک ترین نانوذره‌های طلا را تهیه کرده بود، آبیون تولید کرده و از آن (گلوتامات) در تهیه نانوذره‌های طلا و کلاهکدار کردن آن‌ها استفاده شد (۳۰). گلوتامیک اسید، ترکیبی است که دارای دو گروه کربوکسیلیک اسید و



بگیرد، طیف UV-Vis حاصل از آن در طول موج‌های بلندتری پدیدار خواهد شد (۲۵، ۲۶، ۲۷ و ۲۹)، می‌توان گفت هر چه تعداد اتم‌های طلا در کلاستر آن بیش‌تر باشد طیف UV-Vis مربوطه دارای طول موج بلندتری نسبت به طیف کلاسترهاي طلا با تعداد اتم کم‌تر خواهد بود. از این رو می‌توان پیش‌بینی نمود که نانوذره‌های تولید شده با گلوتامیک اسید، با توجه به بیشینه جذب با طول موج کم‌تر، دارای اندازه ذره کوچک‌تری هم هستند که این پیش‌بینی با نتایج بدست

تولیدی را در حیطه‌ی روش‌های سبز (Green Method) و دوستدار محیط زیست تولید نانوذرات طلا قرار می‌دهند (۱۹ و ۲۰). همچنین دلیل اینکه از بین نانوذره‌های مختلف، نانوذراتی که توسط گلوتامیک اسید تهیه شده بودند انتخاب شد این است که این آمینواسید دارای دو گروه کربوکسیلیک اسید است که یک گروه آن به سطح نانوذره‌ها نزدیک می‌شود و گروه کربوکسیلی دیگر آزاد باقی خواهد ماند (شکل ۶). از این رو نانوذره‌هایی که توسط این آمینواسید عامل‌دار می‌گردند از دسته موادی هستند که بستر مناسبی برای اتصال به زیست مولکول‌ها می‌باشند. همچنین با محاسبات کوانتیمی و تجربی مشخص شد که آمیون گلوتامیک اسید به دلیل برهم‌کنش کووالانس با نانوذره‌های طلا اتصال قوی‌تری با طلا نسبت به حالت خنثی و کاتیون گلوتامیک اسید دارد. از این رو نانوذره‌های طلایی که با گلوتامات، کلاهک‌دار شده‌اند بستر مناسبی برای برهم‌کنش با زیست مولکول‌ها، آنتی‌بادی‌ها و پروتئین‌ها به منظور کاربردهای زیستی و پزشکی دارد.

جدول ۲- مقادیر DLS مربوط به نانوذره‌های طلا تهیه شده با گلوتامیک اسید، سدیم گلوتامات، فنیل‌آلین و تریپتوفان

آندازه نانوذره‌های طلا	نوع آمینواسید
۲۴ nm	سدیم گلوتامات
۲۶ nm	گلوتامیک اسید
۲۹ nm	فنیل‌آلین
۴۱ nm	تریپتوفان

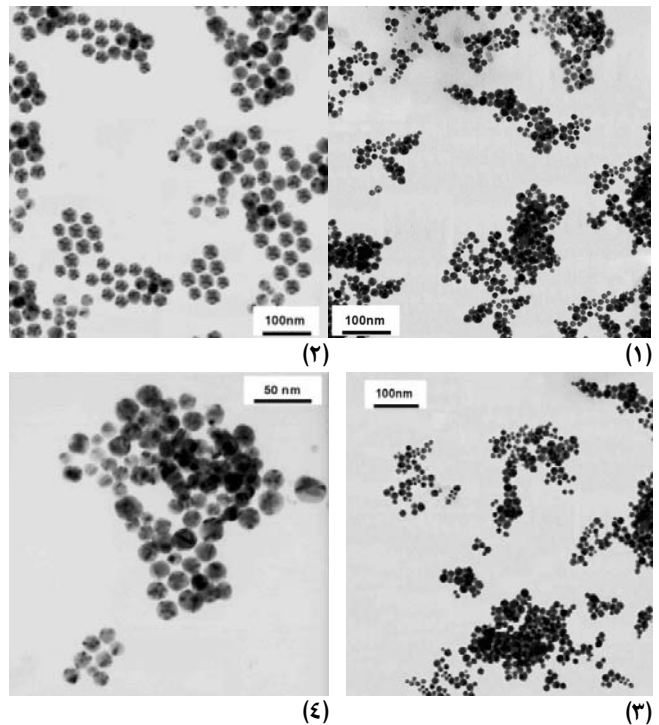
جدول ۳- مقادیر ΔE مربوط به برهم‌کنش آمینواسیدهای گلاسین و سیستئین در حالت آبیونی، خنثی و کاتیونی با کلاسترهاي طلا (۲۷)

Δq_{CT}	ΔE_{CT}	انتقال بار	مولکول
+/-۰.۵۳	۲۳/۱۳	$n_{N1} \rightarrow \sigma_{Au1-Au2}^*(\alpha)$	-(-) گلاسین
			Au ₃
-/۰.۷۲۷	۲۷/۰.۹	$n_{N1} \rightarrow \sigma_{Au1}^*(\beta)$	گلاسین
-/۰.۲۱۲۶	۳۲/۰.۲	$n_{O1} \rightarrow \sigma_{Au1}^*(\alpha)$	-(-) Au ₃
-/۰.۱۹۶۴	۲۹/۵۸	$n_{O1} \rightarrow \sigma_{Au1}^*(\beta)$	گلاسین
-/۰.۲۲۲	۶/۵۵	$n_{Au1} \rightarrow \sigma_{N2-H1}^*(\alpha)$	- (+) Au ₃
-/۰.۱۱۱	۳/۹۱	$n_{Au1} \rightarrow \sigma_{N2-H1}^*(\beta)$	سیستئین
-/۰.۹۵	۲۱/۴۵	$n_{N1} \rightarrow \sigma_{Au1-Au2}^*(\alpha)$	-(-) Au ₃
-/۰.۱۵۷	۲۵/۶۰	$n_{N1} \rightarrow \sigma_{Au1}^*(\beta)$	سیستئین
-/۰.۱۸۲	۲۹/۶۸	$n_{O1} \rightarrow \sigma_{Au1}^*(\alpha)$	-(-) Au ₃
-/۰.۱۶۹	۲۷/۶۰	$n_{O1} \rightarrow \sigma_{Au1}^*(\beta)$	سیستئین
-/۰.۰۴۳	۱۴/۰۰	$n_{Au1} \rightarrow \sigma_{N2-H1}^*(\alpha)$	- (+) Au ₃
-/۰.۱۳	۳/۶۳	$n_{Au1} \rightarrow \sigma_{N2-H1}^*(\beta)$	

یک گروه آمینی می‌باشد. در شرایط آبیونی یکی از گروه‌های کربوکسیلی H اسیدی خود را از دست می‌دهد. این عامل سبب می‌شود که آمین موجود در ترکیب از طریق پیوند کووالانس به ذره‌های طلا متصل شود؛ در حالی که گلوتامیک اسید در حالت خنثی و کاتیونی بیشتر از طریق جاذبه‌های الکترواستاتیکی به ذره‌های طلا متصل می‌شوند. نتایج بدست آمده از الکتروفورز ژل نانوذره‌های طلای تهیه شده و کلاهک‌دار شده با گلوتامیک اسید، همان‌گونه که در شکل ۴ نشان داده است، به میزان کمتری نسبت به نانوذره‌های کلاهک‌دار شده با گلوتامات جابجاگی به سمت پایین ژل (قطب +) دارند (۱۹).

آمینواسیدها پس از کاهش کاتیون‌های طلا اکسید می‌شوند. نکته‌ی قابل توجه این است که ترکیب حاصل از اکسید شدن آمینواسیدها [مانند پیرواتهای (Pyruvate)] هیچ‌گونه سمیت و خطری نداشته و حتی برخی از آن‌ها در علوم پزشکی از اهمیت به سزاگیر برخوردار هستند. در شکل ۵ شمای اکسید شدن فنیل‌آلین و تریپتوفان آورده شده است (۳۰، ۳۱ و ۳۲).

با مقایسه نتایج حاصل از این پژوهش با سایر پژوهش‌های صورت گرفته در این زمینه می‌توان دریافت، با توجه به سمی نبودن کاهنده‌های مورد استفاده در این روش در مقایسه با سایر کاهنده‌های موجود (مانند سدیم بورهیدرات یا سایر کاهنده‌های دیگر)، نانوذره‌های



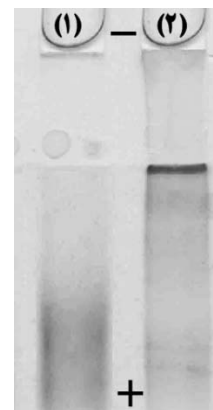
شکل ۳- تصاویر TEM نانوذره‌های طلای تهیه شده با فنیل‌آلین (۱)، تریپتوفان (۲)، گلوتامیک اسید (۳) و سدیم گلوتامات (۴)

تشکر و قدردانی

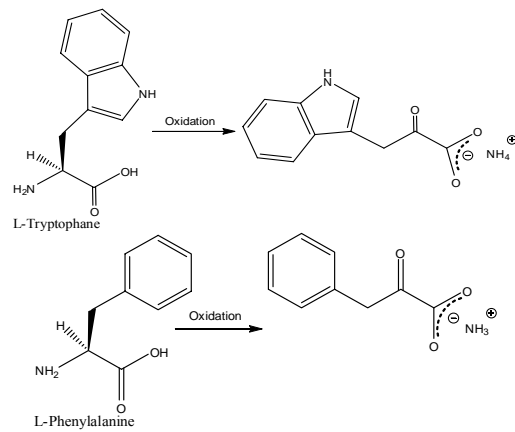
نویسنده‌گان این مقاله مراتب تشکر و قدردانی خود را از اعضای بخش پایلوت بیوتکنولوژی استیتو پاستور ایران، بخش نانوپیوتکنولوژی استیتو پاستور ایران بهویژه آقای دکتر علمدار آشناگر و امیر عباس رحیمی، گروه بیوشیمی استیتو پاستور ایران بهویژه آقای دکتر محمد ارجمند، خانم دکتر روحی و آقای شهباز محمدی جهت همکاری بی دریغ و انجام آنالیزهای مختلف ابراز می‌دارند.

References

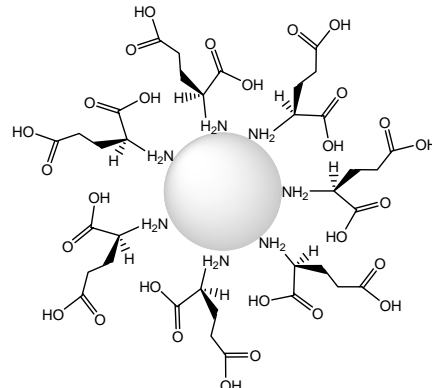
- Wang Y, Herron N. Nanometer-sized semiconductor clusters: materials synthesis, quantum size effects, and photophysical properties. *J Phys Chem* 1991;95:525-532.
- Colvin VL, Schlapm MC, Alivisatos AP. Light-emitting diodes made from cadmium selenide nanocrystals and a semiconducting polymer. *Nature* 1994;370:354-357.
- Haruta M, Kobayashi T, Sano H, Yamada N. Novel gold catalysts for the oxidation of carbon monoxide at a temperature far below 0 C. *Chem Lett* 1987;2:405-408.
- Ahmadi TS, Wang ZL, Green TC, Henglein A, El-Sayed MA. Shape-controlled synthesis of colloidal platinum nanoparticles. *Science* 1996;272:1924-1926.
- Maier SA, Brongersma ML, Kik PG, Meltzer S, Requicha AAG, Atwater HA. Plasmonics- a route to nanoscale optical devices. *Adv Mater* 2001;19:1501-1505.
- Turkevich J, Stevenson PC, Hillier J. Preparation of 2.5×10^{-4} M gold colloids (Sodium citrate reduction method) *Discuss. Faraday Soc* 1951;11:55-59.
- Duff DG, Baiker A, Edwards PP. A new hydrosol of gold clusters. 1. formation and particle size variation. *Langmuir* 1993;9:2301-2309.
- Henglein A. Radiolytic preparation of ultrafine colloidal gold particles in aqueous solution: optical spectrum, controlled growth, and some chemical reactions. *Langmuir* 1999;15:6738-6744.
- Mizukoshi Y, Fujimoto T, Nagata Y, Oshima R, Maeda Y. Characterization and catalytic activity of core-shell structured gold/palladium bimetallic nanoparticles synthesized by the sonochemical method. *J Phys Chem B* 2000;104:6028-6032.
- Brust M, Walker M, Bethell D, Schiffrin DJ, Whyman R. Synthesis of thiol-derivatised gold nanoparticles in a two-phase Liquid-Liquid system. *J Chem Soc Chem Commun* 1994;7:801-802.
- Ingram RS, Hostetler MJ, Murray RW. Poly-hetero- ω -functionalized alkanethiolate-stabilized gold cluster compounds. *J Am Chem Soc* 1997;119:9175-9178.
- Storhoff JJ, Mirkin CA. Programmed materials synthesis with DNA. *Chem Rev* 1999;99:1849-1862.
- Niemeyer CM. Nanoparticles, proteins, and nucleic acids: biotechnology meets materials science. *Angew Chem Int Ed* 2001;40:4128-4158.
- Bielinska A, Eichman JD, Lee I, Baker JR Jr, Balogh L. Imaging {Au0-PAMAM} gold-dendrimer nanocomposites in cells. *J Nanopart Res* 2002;4:395-403.
- Johnson SR, Evans SD, Mahon SW, Ulman A. Alkanethiol molecules containing an aromatic moiety self-assembled onto gold clusters. *Langmuir* 1997;13:51-7.
- Leff DV, Brandt L, Heath JR. Synthesis and characterization of hydrophobic, organically-soluble gold nanocrystals functionalized with primary amines. *Langmuir* 1996;12:4723-4730.



شکل ۴- تصویر الکتروفورز ژل مربوط به نانوذره‌های نانوذره طلا-گلوتامات (۱) و طلا-گلوتامیک اسید (۲)



شکل ۵- شماتی اکسید شدن تریپتوفان و فنیل آلانین



شکل ۶- نمایی از اتصال گلوتامیک اسیدهای اضافی به نانوذره طلا

17. Selvakannan PR, Mandal S, Phadtare S, Gole A, Pasricha R, Adyanthaya SD, et al. Water-dispersible tryptophan-protected gold nanoparticles prepared by the spontaneous reduction of aqueous chloroaurate ions by the amino acid. *J Colloid Interface Sci* 2004;269:97-102.
18. Gole A, Dash C, Soman C, Sainkar SR, Rao M, Sastry M. On the preparation, characterization, and enzymatic activity of fungal protease-gold colloid bioconjugates. *Bioconjugate Chem* 2001;12:684-690.
19. Joshi H, Shirude P, Bansal V, Ganesh KN, Sastry M. Isothermal titration calorimetry studies on the binding of amino acids to gold nanoparticles. *J Phys Chem B* 2004;108:11535-11540.
20. Bhargava SK, Booth JM, Agrawal S, Coloe P, Kar G. Gold nanoparticle formation during bromoaurate reduction by amino acids. *Langmuir* 2005;21:5949-5956.
21. Si S, Bhattacharjee RR, Banerjee A, Mandal TK. A mechanistic and kinetic study of the formation of metal nanoparticles by using synthetic tyrosine-based oligopeptides. *Chem Eur J* 2006;12:1256-1265.
22. Humbert C, Busson B, Abid J-P, Six C, Girault HH, Tadjeeddine A. Self-assembled organic monolayers on gold nanoparticles: A study by sum-frequency generation combined with UV-vis spectroscopy. *Electrochimica Acta* 2005;50:3101-3110.
23. Kumar JB, Raj CR. Synthesis of flower-like gold nanoparticles and their electrocatalytic activity towards the oxidation of methanol and the reduction of oxygen. *Langmuir* 2007;23:4064-4070.
24. Sardar R, Park J-W, Shumaker-Parry JS. Polymer-induced synthesis of stable gold and silver nanoparticles and subsequent ligand exchange in water. *Langmuir* 2007;23:11883-11889.
25. Alvarez MM, Khoury JT, Schaaff TG, Shafiqullin MN, Vezmar I, Whetten RL. Optical absorption spectra of nanocrystal gold molecules. *J Phys Chem B* 1997;101:3706-3712.
26. Schaaf TG, Shafiqullin MN, Khoury JT, Vezmar I, Whetten RL, Cullen WG, et al. Isolation of smaller nanocrystal Au molecules: robust quantum effects in optical spectra. *J Phys Chem B* 1997;101:7885-7891.
27. Zaitoun MA, Mason WR, Lin CT. Magnetic circular dichroism spectra for colloidal gold nanoparticles in xerogels at 5.5 K. *J Phys Chem B* 2001;105:6780-6784.
28. Melinger JS, Kleiman VD, McMorrow D, Grohn F, Bauer BJ, Amis E. Ultrafast Dynamics of gold-based nanocomposite materials. *J Phys Chem A* 2003;107(18):3424-3431.
29. Papavassiliou GC. Optical properties of small inorganic and organic metal particles. *Prog Solid State Chem* 1979;12:185-271.
30. Pakiari AH, Jamshidi Z. Interaction of amino acids with gold and silver clusters. *J Phys Chem A* 2007;111(20):4391-4396.
31. Mandal S, Phadtare S, Sastry M. Interfacing biology with nanoparticles. *Current Applied Physics* 2005;5:118-127.
32. Yoo EJ, Li T, Park HG, Chang YK. Size-dependent flocculation behavior of colloidal Au nanoparticles modified with various biomolecules. *Ultramicroscopy* 2008;108(10):1273-1277.